

[苏联] Г. И. 科甘著 330554

成都工学院图书馆  
基本馆藏



# 磨齿圆柱齿轮的制造



国防工业出版社

6  
14

# 磨齿圆柱齿轮的制造

〔苏联〕 Г. И. 科甘著

董汉侯、孙明重译



国防工业出版社

1965

## 內容簡介

本书闡述了磨齒圓柱齒輪的製造，包括齒輪淬火後的精整加工。敘述了減小磨齒余量的方法與齒輪磨床結構及其調整。對不同類型齒輪磨床的磨齒誤差作了分析，並提出了磨齒齒輪檢驗方法、誤差原因分析及其消除方法的相應建議。

本書可供工廠和科學研究機關與高精度圓柱齒輪製造有關的工程技術人員使用，也可供機械製造高等院校的學生參考。

ИЗГОТОВЛЕНИЕ ЦИЛИНДРИЧЕСКИХ КОЛЕС  
СО ШЛИФОВАННЫМИ ЗУБЬЯМИ

[蘇聯] Г. И. КОГАН

МАШГИЗ 1962

\*

磨齒圓柱齒輪的製造

董漢侯、孙明璽譯

\*

國防工業出版社 出版

北京市書刊出版業營業登記證出字第074號

新华书店北京发行所发行 各地新华书店經售

国防工业出版社印刷厂印装

\*

850×1168 1/32 印張 7 7/16 189 千字

1965年8月第一版 1965年8月第一次印刷 印数：0,001—6,200 册

统一书号：15034·925 定价：（科七）1.30 元

# 目 录

序言.....	5
<b>第一章 圓柱齒輪磨齒方法.....</b>	<b>7</b>
1. 加工外齒輪的范成法齒輪磨床.....	7
2. 滾圓式或標準齒輪式齒輪磨床.....	14
3. 分度蝸輪副式范成機構齒輪磨床.....	21
4. 漸開線范成凸輪式齒輪磨床.....	24
5. 蝸杆砂輪型連續滾動齒輪磨床.....	25
6. 磨削外齒輪的仿形法齒輪磨床.....	27
7. 磨削內齒輪的齒輪磨床.....	28
8. 齒輪磨床的性能比較.....	31
<b>第二章 磨齒齒輪的加工與檢驗特點.....</b>	<b>35</b>
1. 對磨齒齒輪結構的基本要求.....	35
2. 磨齒齒輪加工工藝的基本特點.....	42
3. 保證最低的磨齒余量.....	43
4. 高速重載齒輪的加工特點.....	52
5. 磨齒時的齒輪工藝基準.....	54
6. 磨齒齒輪的檢驗特點.....	57
7. 齒輪磨床型式的選擇.....	70
<b>第三章 范成法臥軸齒輪磨床及其調整.....</b>	<b>80</b>
1. Maag 齒輪磨床.....	80
2. Kolb 齒輪磨床.....	100
3. Pratt & Whitney 齒輪磨床.....	106
4. 漸開線范成凸輪式齒輪磨床.....	113
<b>第四章 范成法立軸齒輪磨床及其調整.....</b>	<b>120</b>
1. 5831 型和 Niles 齒輪磨床.....	120
2. 584 型齒輪磨床 .....	128

3. TOS-OB-16 型和 Maag 齿輪磨床	137
4. 蝶杆砂輪型齒輪磨床	145
<b>第五章 仿形法齒輪磨床及其調整</b>	<b>153</b>
1. 586、5860A 和 5861 型齒輪磨床	153
2. Gear Grinding(Orcutt)齒輪磨床	164
3. 无靠模修整砂輪的双砂輪型齒輪磨床	169
<b>第六章 加工內齒圈的齒輪磨床及其調整</b>	<b>175</b>
1. 仿形法齒輪磨床	175
2. Maag JHSS-75 型內齒輪磨床	181
<b>第七章 磨齒缺陷原因的分析与消除</b>	<b>183</b>
1. 齒輪磨床調整穩定性的破壞及共小調整	183
2. 机床工作誤差所引起的磨齒誤差	195
3. 范成法齒輪磨床的檢驗與調節	196
4. 仿形法齒輪磨床的檢驗與調節	202
5. 齒輪磨床可換零件製造的基本工藝方法	203
<b>第八章 進行磨齒工序</b>	<b>206</b>
1. 在机床上安装被加工齿輪的夹具	206
2. 磨齿規範与磨齿工序时间定額	214
3. 提高磨齿效率	222
<b>附录</b>	<b>229</b>
表 I 与齒輪傳動嚙合角或齒輪壓力角 $\alpha$ 有关的 $I$ 、 $C$ 和 $P$ 值(原始齿形角 $\alpha_0=20^\circ$ )	229
表 II 与原始齿廓位移系数 $\xi_0$ 有关的系数 $K_1$ 值( $\alpha_0=20^\circ$ )	235
表 III 加工非标准原始齿形角( $\alpha_0 \neq 20^\circ$ )齿輪时利用表 I 和表 II 数据作齒輪磨床調整計算的修正公式	236
<b>参考文献</b>	<b>237</b>

## 序　　言

机器改进的标志是显著地提高机器的功率和工作原件的运动速度。由于齿輪傳动在高速和重載荷下工作，因而提高了对圓柱齒輪强度和精度要求。强度和精度决定着机器的质量(工作原件的旋轉均匀性、耐震性和傳动噪音)和工作时出現的動載荷。

在現代机器中，大多数圓柱齒輪是由合金鋼(包括用鎳鉻合金鋼)制造的，其精度为 ГОСТ 1643-56 的 6~7 級。

为了提高齒輪制造精度，以及消除輪齒精切后的热处理变形所引起的誤差，广泛地采用工作齒面的精整加工工序，其中包括磨齿。各机器制造部門，在加工各种型式尺寸的齒輪时，广泛地应用了磨齿。

現代机床制造的发展方向之一，是增加齒輪磨床的型式尺寸种數和改进結構，以便提高精度和效率。許多新结构的齒輪磨床，有可能磨削具有纵向和横向修正齒形的圓柱齒輪。

齒輪磨床决定着它的調整和操作有如下特征：

- a) 磨齿时調整机床各部件的相对位置，来保证齒圈的啮合要素部分；
- b) 高速齒輪在磨齿时要求的高精度，按原有刻度盤來調整机床，在很多情况下是不可能达到的，对机床不进行定期檢驗与調节，也不能保持高的精度。

在驗收檢驗和預防(工艺)檢驗磨齿齒輪时，必須檢驗齒圈的大多数要素，根据檢驗結果对机床进行小調整。

对磨齿齒輪和非磨齿齒輪的結構，有各种不同的要求。磨齿方法特点在于齒槽根部形成过渡曲綫的方法不同，这就必須根据

对齒輪疲勞強度有較大影響的非工作表面參數對齒輪的結構進行更精確地規定。

本書敘述了磨齒圓柱齒輪的製造工藝和檢驗方法；根據齒輪型式尺寸和精度選取磨齒的方法；得到最廣泛推廣的或有發展前途的各種齒輪磨床的調整和小調整。

對於磨齒誤差的引起、消除或減小它的方法，也給予了特別的注意，在不同型式尺寸齒輪磨床上加工齒輪時，引起誤差的原因和誤差的表現形式是不同的。因此，根據齒輪磨床工作原理，研究了磨齒齒輪的檢驗方法，誤差引起原因及消除它的方法。

考慮到磨齒時的齒形形成原理，以及零件在齒輪磨床上的定位方法，闡述了磨齒齒輪的加工工藝特點。

由於在調整齒輪磨床時，必須參考被加工齒輪齒圈的各個嚙合參數，而這些參數是以定尺寸金屬刀具用其它切齒方法加工時自動得到的，因此本書對於確定上述關係也給予了很大的注意。為了簡化齒輪磨床的調整計算，特別是在加工修正齒輪時的調整計算，本書介紹了利用專用表格（在表格中列有與 $\alpha$ 角有關的各函數： $I = \operatorname{inv} \alpha - \operatorname{inv} \alpha_0$ ， $C = \frac{\cos \alpha_0}{\cos \alpha}$ 和 $P = C \sin \alpha$ ）作調整計算的新方法。

在加工直齒和斜齒齒輪時，齒輪磨床的調整參數計算方法，主要適用於標準原始齒廓的嚙合（按 ГОСТ 3058-54）；當原始齒廓為非標準齒形角 $\alpha_0 \neq 20^\circ$ 時，也可以利用作者建議的計算方法，為此在附錄中提供了相應的公式（表 III）①。

---

① 在利用某些資料中的原有表格基礎上，作者作了補充，提出了齒輪磨床調整參數的計算方法[1]。

# 第一章 圆柱齿輪磨齒方法

不同型式的齒輪磨床，在工艺可能性和加工精度方面是不相同的，这是因为考虑到了零件結構、零件加工工艺和檢驗方法的要求。

齒輪磨床分为按范成法和按仿形法加工的两种基本类型。

第一种类型齒輪磨床的工作原理，基于齒輪与由砂輪表面构成的假想齒条相啮合。

第二种类型齒輪磨床，则基于由砂輪的成形表面构成被加工齒輪的齒槽。

## 1. 加工外齒輪的范成法齒輪磨床

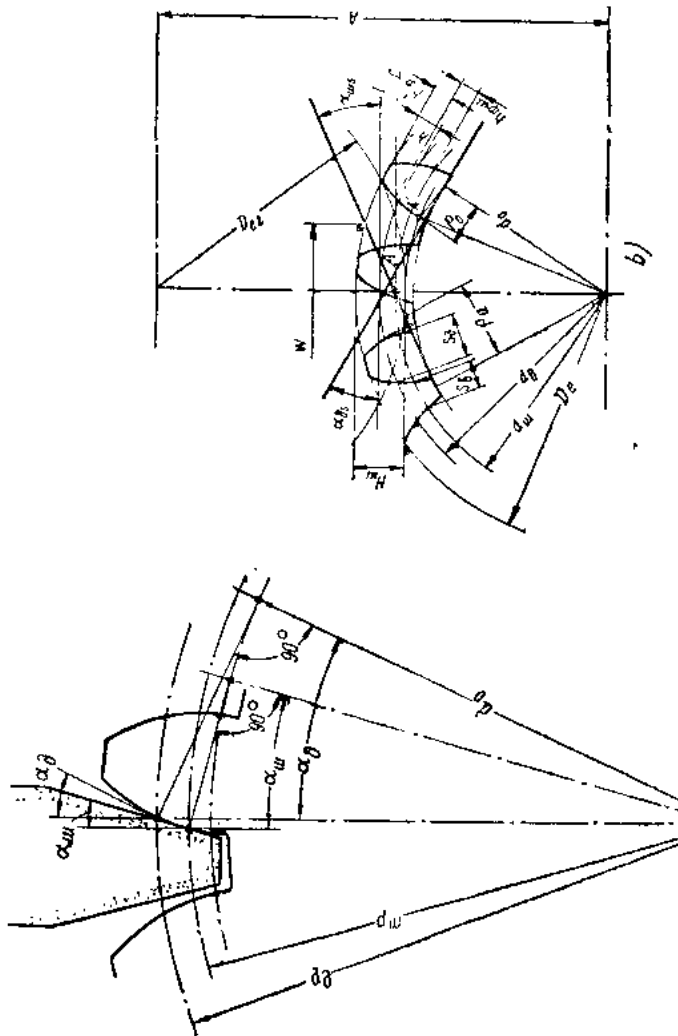
这种齒輪磨床的特点，是具有数个同时发生的相互联系的运动：

- a) 砂輪繞自身軸線的旋轉——切削运动；
- b) 齒輪軸線順着分度圓切線相對砂輪的往復運動，與此同時齒輪以相應于與假想齒條(砂輪)相啮合的速度旋轉——范成運動；
- c) 砂輪順着輪齒移動，以便沿齒全長形成輪齒——纵向進給；
- d) 齒輪分度迴轉，相當于一個或數個輪齒的齒角——連續加工輪齒。

由于砂輪的成形简单，可以以不同于齒輪原始齒廓齒形角  $\alpha_a$  的磨削角  $\alpha_m$  [砂輪工作表面直母線與其對稱中心線間的夾角(图 1. a)]进行加工。

当磨削角  $\alpha_m$  不等于齒輪齒形角  $\alpha_a$  时，沿着与分度圓直徑  $d_a$

图1 按范成法磨削时轮齿形成示意图



不重合的齿輪滚动圆  $d_m$ , 发生无滑动的范成。

从保持基圆  $d_0$  的条件出发, 可用下式确定齿輪滚动圆直径  $d_m$

$$d_m = d_0 \cdot \frac{\cos \alpha_{ds}}{\cos \alpha_{ms}}, \quad (I. 1)$$

式中  $d_0$  —— 被加工齿輪分度圆直径;

$\alpha_{ds}$  和  $\alpha_{ms}$  —— 齿輪端面齿形角和磨削角。

这两个角度与轮齿法向截面齿形角  $\alpha_d$  和  $\alpha_m$  的关系如下

$$\operatorname{tg} \alpha_d = \frac{\operatorname{tg} \alpha_{ds}}{\cos \beta_d} \text{ 和 } \operatorname{tg} \alpha_m = \frac{\operatorname{tg} \alpha_m}{\cos \beta_m},$$

式中, 齿輪滚动圆上的轮齿倾角  $\beta_m$  按公式(I. 2)决定。对于直齿齿輪,  $\alpha_{ds} = \alpha_d$  和  $\alpha_{ms} = \alpha_m$ 。

当采用附录所列表格时, 对于标准齿形角  $\alpha_d = 20^\circ$  的直齿齿輪, 公式(I. 1)取如下形式

$$d_m = C_m d_0 - C_m m z, \quad (I. 1')$$

式中  $C_m$  以角度  $\alpha = \alpha_m$  ① 按附录表 I 决定。

当齿輪图纸上只规定基圆  $d_0$  时, 滚动圆直径按下式决定:

$$d_m = \frac{d_0}{\cos \alpha_m}, \quad (I. 1'')$$

滚动圆上的斜齿倾角  $\beta_m$  也不等于齿輪分度圆上的齿倾角  $\beta_d$ ; 用来保持螺旋綫导程  $T$  的齿倾角  $\beta_m$  值由下式决定:

$$\sin \beta_m = \frac{\cos \alpha_d}{\cos \alpha_m} \sin \beta_d \text{ 或 } \sin \beta_m = C_m \cdot \sin \beta_d, \quad (I. 2)$$

式中  $C_m$  以  $\alpha = \alpha_m$  按附录表 I 选取。

当制造齿頂修緣齿輪时, 在  $\alpha_m \neq \alpha_d$  条件下, 砂輪的修緣角  $\alpha_{\phi m}$  按下式决定:

$$\cos \alpha_{\phi m} = \frac{\cos \alpha_m}{\cos \alpha_d} \cos \alpha_{\phi} = \frac{\cos \alpha_{\phi}}{C_m}, \quad (I. 3)$$

① 当指出上述两种方案的公式而未加附加说明时, 第二方案可采用附录所列表格来计算齿形角  $\alpha_d = 20^\circ$  的直齿齿輪。对于非标准原始齿廓 ( $\alpha_d \neq 20^\circ$ ) 的齿輪, 公式列于附录表 II 中。

式中  $C_m$  与公式(I. 1)和(I. 2)相同。

在这种情况下，砂輪輪廓修緣部分起点距与齿輪滾动圆相切的滾动直線 II 的高度  $h_{\phi m}$  (图 1. b)，与原始齿廓上的修緣高度  $h_\phi$  的关系如下：

$$\begin{aligned} h_{\phi m} = & \frac{d_m}{4} \sin 2\alpha_{ms} \cdot (\operatorname{tg} \alpha_{ds} - \operatorname{tg} \alpha_{ms}) + \\ & + (h' - h_\phi) \cdot \frac{\sin \alpha_{ms}}{\sin \alpha_{ds}}, \end{aligned} \quad (I. 4)$$

而当直接在齿輪齒頂上規定輪齒修緣部分高度  $h'_\phi$  时， $h_{\phi m}$  值为

$$\begin{aligned} h_{\phi m} = & \frac{d_m}{4} \sin 2\alpha_{ms} (\operatorname{tg} \alpha_{\phi e} - \operatorname{tg} \alpha_{ms}) = \\ = & \frac{d_\phi}{2} (P_2 - P_1) \sin \alpha_{ms}, \end{aligned} \quad (I. 4')$$

式中  $\cos \alpha_{\phi e} = \frac{d_\phi \cos \alpha_{ds}}{D_e - 2h'_\phi}$  ( $\alpha_\phi$  —— 图紙或 ГОСТ 3058-54 规定的修緣角)；

$h'$  —— 从分度圓起的齿輪齒頂高度(ГОСТ 3058-54 规定  $h_\phi = 0.45$  m)；

$P_1$  和  $P_2$  以  $\alpha = \alpha_{ms}$  和  $C = \frac{D_e - 2h'_\phi}{d_\phi}$  按附录表 I 决定。

齿輪滚动圆上的齿槽宽度  $S_e$  等于砂輪的工作宽度，即等于滾动直線上的砂輪两侧工作刃边間的距离，其值按下式决定：

$$\begin{aligned} S_e = & d_m \left( \frac{\frac{\pi}{2} - 2\xi \operatorname{tg} \alpha_d}{z} - \operatorname{inv} \alpha_{ds} + \operatorname{inv} \alpha_{ms} \right) \cdot \cos \beta_m = \\ = & C_m m \left( \frac{\pi}{2} - K_1 + z I_m \right), \end{aligned} \quad (I. 5)$$

式中  $\xi$  —— 带正号或负号的原始齿廓位移計算系数(对于修正齿輪)； $C_m$  和  $I_m$  以  $\alpha = \alpha_{ms}$  按附录表 I 选取；

$K_1$  以  $\xi_c = \xi$  按表 II 选取。

当使用附录的表格計算斜齿齒輪的  $S_e$  值时，公式(I. 5)取如下形式：

$$S_s = \frac{C_{as}}{C_{as}} \cdot m_n \left( \frac{\pi}{2} - K_1 + z \cdot I_{as} \right) \cos \beta_{as}, \quad (I.5')$$

式中  $C_{as}$  和  $I_{as}$  以  $\alpha = \alpha_{as}$  按表 I 决定;  $C_{as}$  和  $I_{as}$  以  $\alpha = \alpha_{as}$  同样按附录表 I 决定;  $K_1$  以  $\xi_c = \xi + 1.37374 \cdot z I_{as}$  按附录表 II 选取。

从保证加工出齿轮在传动中与连接齿轮啮合的全部有效齿形出发, 决定磨削时砂轮切入齿槽深度  $H_{as}$  和范成行程长度  $W$ 。在齿轮磨床上加工齿轮过程中, 砂轮工作表面与齿轮的接触起点  $A'$ , 用渐开线曲率半径  $\rho_0$  表示, 而在齿轮传动中, 被加工齿轮接触起点  $A$  用曲率半径  $\rho_a$  表示, 则曲率半径  $\rho_0$  应小于曲率半径  $\rho_a$  (见图 1. b;  $\rho_0 < \rho_a$ )。

为了保证上述条件, 在加工齿时, 砂轮切入齿槽的深度  $H_{as}$  按下式计算:

$$H_{as} = \frac{D_e}{2} - \frac{d_{as}}{2} \cos^2 \alpha_{as} - \rho_0 \sin \alpha_{as}. \quad (I.6)$$

如果在齿轮图纸上未规定轮齿工作齿形起始曲率半径  $\rho_a$  时, 对于直齿齿轮, 半径  $\rho_a$  应根据在齿轮传动中与连接齿轮的啮合情况, 按下式计算:

$$\rho_a = m \left( \frac{z_1 + z_2}{2} \cdot P_1 - \frac{z_2}{2} \cdot P_2 \right), \quad (I.7)$$

式中  $P_1$  —— 以  $C_1 = \frac{2A}{m(z_1 + z_2)}$  按附录表 I 决定;

$P_2$  —— 以  $C_2 = \frac{D_{e2}}{mz_2}$  同样按附录表 I 决定;

$A$  —— 齿轮传动中心距;

$z_1$  —— 被加工齿轮齿数;

$z_2$  和  $D_{e2}$  —— 分别为齿轮传动连接齿轮齿数及齿顶圆直径。

对于斜齿齿轮, 公式(I.7)中的法向模数  $m_n$  用假想端面模数代替

$$m'_s = \frac{m_n}{C_{as} \cdot \cos \beta_{as}}, \quad (I.7')$$

式中  $C_{as}$  以  $\alpha = \alpha_{\partial_3}$  按附录表 I 选取。

垂直于齿輪軸線平面內的范成行程長度  $W$  (图 2), 等于范成中心角  $2\lambda$  所对应的滚动圆弧长, 即:

$$W = d_{us} \lambda = \frac{\pi}{180} d_{us} \lambda^{\circ}. \quad (I.8)$$

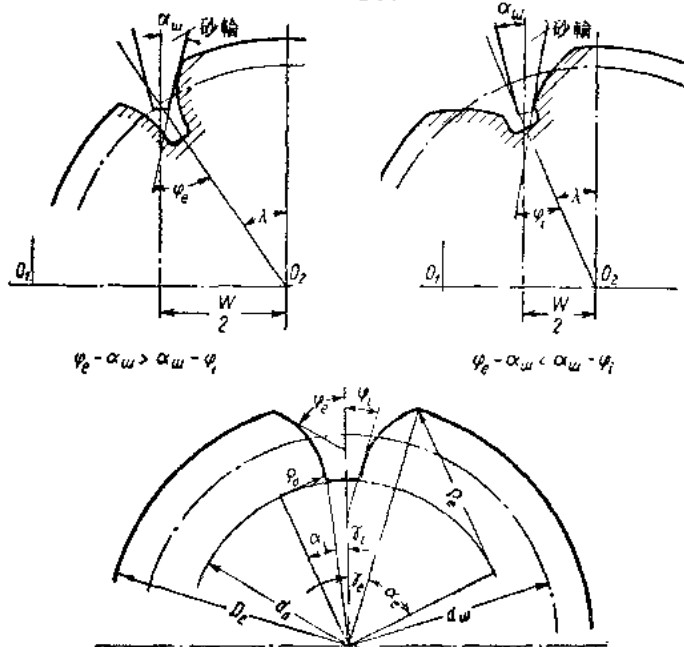


图 2 磨齿时决定范成行程长度示意图

齒輪端面內的范成角, 根據  $\lambda = \varphi_e - \alpha_{us}$  或  $\lambda = \alpha_{us} - \varphi_i$  (对于直齒齒輪) 中的較大值決定, 式中齒頂圓上的齒頂切線與齒槽對稱中心線間的夾角  $\varphi_e$  或磨削齒形起點處齒根切線與齒槽對稱中心線間的夾角  $\varphi_i$ , 分別為  $\varphi_e = \alpha_e + \gamma_e$  和  $\varphi_i = \alpha_i + \gamma_i$ 。

对于直齒齒輪,  $\varphi_e$  和  $\varphi_i$  值按下列式决定:

$$\left. \begin{aligned} \varphi_e &= \alpha_e + \frac{180^\circ}{\pi} \left[ \frac{1}{z} \left( \frac{\pi}{2} - K_1 \right) + I_e \right] \\ \text{和} \\ \varphi_i &= \alpha_i + \frac{180^\circ}{\pi} \left[ \frac{1}{z} \left( \frac{\pi}{2} - K_1 \right) + I_i \right], \end{aligned} \right\} \quad (I.8')$$

式中  $\alpha_e$ ——齿顶压力角,  $I_e$  以  $C_e = \frac{D_e}{mz}$  按附录表 I 决定;

$\alpha_i$ ——齿根压力角,  $I_i$  以  $P_i = \frac{2\rho_0}{mz}$  按附录表 I 决定;

$K_1$ ——以  $\xi_c = \xi$  按附录表 II 选取;

$D_e$ ——齿轮的齿顶圆直径。

对于斜齿齿轮, 决定端面内的  $\lambda$  角, 即  $\lambda = \varphi_e - \alpha_{us}$  或  $\lambda = \alpha_{us} - \varphi_i$ , 其中  $\alpha_e$  和  $\alpha_i$  值也在齿轮端面上选取。将公式(I.7')中的假想端面模数  $m'_s$  代入公式(I.8')中, 代替法向模数  $m_n$ , 而以  $\xi_c = \xi + 1.37374 \cdot z I_{as}$ , 取  $K_1$  值。

对于非修正齿轮, 以及原始齿形有正位移系数  $\xi$  或小的负位移系数  $-\xi$  的齿轮,  $\varphi_e - \alpha_{us}$  常常大于  $\alpha_{us} - \varphi_i$ ; 因此, 在大多数情况下, 范成行程长度  $W$  按角度  $\lambda = \varphi_e - \alpha_{us}$  决定; 只有在原始齿形有大的负位移系数  $-\xi$  时, 才采用  $\lambda = \alpha_{us} - \varphi_i$ , 这时有如下关系:

$$\alpha_e + \alpha_i + \frac{180^\circ}{\pi} \left[ \frac{2}{z} \left( \frac{\pi}{2} - K_1 \right) + (I_e + I_i) \right] > 2\alpha_{us}.$$

在双砂轮(分布在相邻齿槽内)型齿轮磨床上, 按公式(I.8)决定的范成行程长度  $W$ , 当  $\lambda = \varphi_e - \alpha_{us}$  时, 应当增大如下数值:

$$\Delta W = \frac{\pi d_{us}}{z}.$$
 (I.8'')

当在齿轮磨床上磨削斜齿齿轮时, 由于砂轮的纵向移动不是顺着齿轮轴线, 而是顺着齿母线, 即与齿轮轴线成  $\beta_{us}$  角(图 3), 由于在齿圈对应两端, 砂轮相对齿轮轴线的不对称分布。因此, 当  $\lambda = \varphi_e - \alpha_{us}$  或  $\lambda = \alpha_{us} - \varphi_i$  时, 按公式(I.8)决定的范成行程长度  $W$  应增大如下数值:

$$\Delta W' = b \operatorname{tg} \beta_{us},$$
 (I.9)

式中  $b$ ——齿圈宽度。

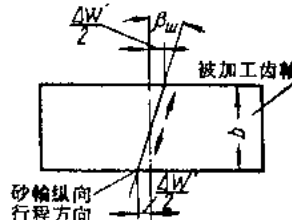


图 3 在砂轮顺着斜齿母线  
纵向运动的齿轮磨床上决  
定范成行程长度示意图

用分布在相邻齿槽内的两个砂轮加工时, 如果  $\lambda = \varphi_o - \alpha_{ws}$ , 按公式(I. 8)决定的范成行程长度  $\Delta W$  应增大如下数值:

$$\Delta W' = \frac{\pi d_{ws}}{z} + b \operatorname{tg} \beta_{ws} \quad (\text{I. } 9')$$

按范成法工作的齿轮磨床, 由于齿轮实现范成运动原理的不同, 可分为四种基本类型。大多数齿轮磨床为单齿分度, 在磨削每个轮齿过程中进行范成; 当利用蜗杆砂轮(在表面上有螺旋线的砂轮)时, 发生连续范成。

## 2. 滚圆式或标准齿轮式齿轮磨床

在 Maag 和 Kolb 公司出产的滚圆钢带式齿轮磨床(图 4)上, 滚圆直径

$$D_6 = d_m - \delta, \quad (\text{I. } 10)$$

式中  $d_m$  按公式(I. 1)决定;  $\delta$ ——钢带厚度。

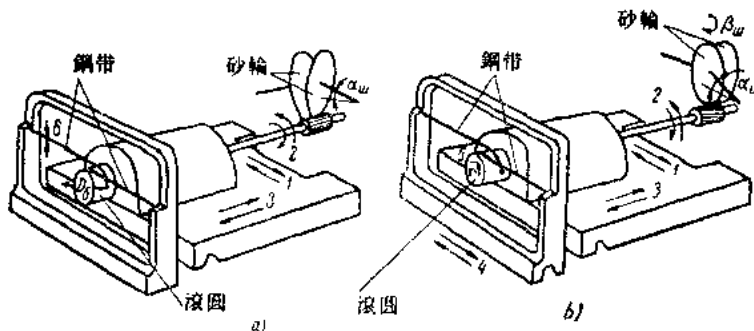


图 4 滚圆式齿轮磨床磨齿示意图

a—加工直齿; b—磨削斜齿齿轮。

钢带一端固定在滚圆上, 而另一端固定在工作台的不动的立柱上。被加工齿轮和滚圆固定在工作主轴上, 当装有工件主轴的拖板在垂直于齿轮轴线方向上作往复运动 1 时, 钢带使滚圆及被加工齿轮绕自身轴线回转; 工作主轴回转速度与齿轮滚动圆沿着由砂轮工作表面构成的假想齿条分度直线的滚动速度一致。

**Maag 齿輪磨床。**这种齒輪磨床用两个碟形砂輪(如图 5 所示)窄边加工。由于砂輪旋转和齒輪相对砂輪的纵向移动, 碟形砂輪窄边形成两个倾斜平面, 即形成假想齒条的两个对应齒面。两个倾斜平面与齒輪对称的垂直平面成  $\alpha_{us}$  角。

齒輪对砂輪的范成运动 2 (图 4. a), 由拖板的快速运动 1 来实现。装有工件主軸的分度箱安装在拖板上。齒輪顺着自身軸綫的纵向运动 3 为慢速运动, 即 图 5 Maag 齒輪磨床的碟形砂輪是纵向进給。由于范成运动与纵向进給的結合, 砂輪窄邊的迴轉在范成及纵向进給过程中, 在齒輪被加工表面上形成一些移动的痕迹, 这就形成工作为 Maag 齒輪磨床特点的《网状花纹》。

在磨削斜齿齒輪时, 砂輪相对垂直軸綫迴轉一个滚动圆上的斜齿倾角  $\beta_{us}$ , 砂輪切削表面形成假想斜齿齒条的齿侧面(图 4. b)。在这种情况下, 除了上述运动外, 与被磨削齒輪顺着自身軸綫移动 3 的同时, 获得一个由鋼帶立柱的移动 4 而产生的附加迴轉 5。附加迴轉 5 与被磨削齒輪軸綫成  $\omega$  角, 该角与纵向移动 3 的关系如下:

$$\omega = \frac{2l \operatorname{tg} \beta_{us}}{\pi d_{us}}。 \quad (\text{I. 11})$$

Maag 齒輪磨床附加迴轉机构如图 6 所示。

这种齒輪磨床的范成行程长度, 对于直齿和斜齿齒輪, 分别按公式(I. 8)或(I. 8'')决定。

利用分度盤机构实现齒輪的分度迴轉。在每次纵向行程结束后, 当砂輪与齒輪脱离啮合时, 进行齒輪的分度迴轉(双面分度),

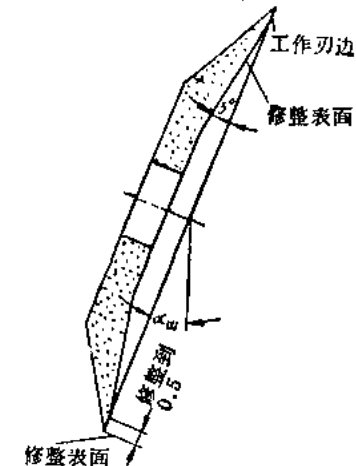


图 5 Maag 齒輪磨床的碟形砂輪

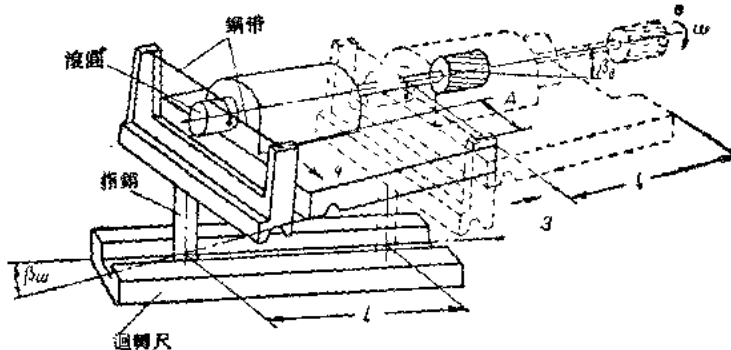


图 6 随着斜齿齿轮廓轴线有纵向移动的齿轮磨床的斜齿齿轮廓附加迴转机构示意图

或当砂轮从齿轮廓一侧退出时, 进行齿轮廓的分度迴转。

因此, 双面分度时纵向行程长度  $L$  应为:

当  $\beta_g = 0^\circ$  时

$$L = b + 2\sqrt{H_w(D - H_w)} + 5 \sim 10, \quad (I. 12)$$

当  $\beta_g \neq 0^\circ$  时

$$L = b + 2[\sqrt{H_w(D - H_w)} \cos \beta_w + \pi m \sin \beta_w] + 5 \sim 10, \quad (I. 12')$$

式中  $b$ ——齿轮廓宽度;  $D$ ——砂轮直径。

在单面分度时, 由于砂轮必须完全从磨削齿形起点的齿圈两端退出(以便形成完整的《网状花纹》), 纵向行程长度可以比按公式(I. 12)确定的数值减小 5~8 毫米。

Maag 齿轮磨床的特点是有补偿装置, 在砂轮磨损时, 该装置定期地移动砂轮工作窄边, 以保持与齿轮廓轴线的相对位置不变。这样就可以消除砂轮工作窄边的磨损对齿形磨削精度的影响。

在旧型号齿轮磨床上, 砂轮轴线倾斜  $15^\circ$  角, 用砂轮外侧进行加工(图 7.a); 在新型号齿轮磨床上, 用零度磨削角的内侧进行加工(图 7.b)。在后一种情况下, 安装砂轮时, 使砂轮外缘略低于被加工齿轮廓圆切线, 因此砂轮每个工作表面在位于基圆切平面上。